

# ИССЛЕДОВАНИЕ

## ФАЗОВОЙ $P, T$ -ДИАГРАММЫ КРИСТАЛЛОВ $\{\text{N}(\text{CH}_3)_4\}_2\text{CuCl}_4$

### МЕТОДОМ ОПТИЧЕСКОГО ДВУПРЕЛОМЛЕНИЯ

*О. Г. Влох, А. В. Китык, В. Г. Грибик,  
О. М. Мокрый*

В последнее время значительное внимание уделяется изучению фазовых диаграмм в сегнетоэлектрических и сегнетоэластических кристаллах, обладающих промежуточными несоразмерными фазами (НФ). Фундаментальный интерес этих исследований обусловлен возможностью существования особых поликритических точек, в которых сходится несколько линий фазовых переходов. Недавно такие точки были обнаружены при воздействии электрического поля в кристаллах  $\text{SC}(\text{ND}_2)_2$ <sup>[1]</sup>,  $\text{NaNO}_2$ <sup>[2]</sup> и  $\text{RbH}_3(\text{SeO}_3)_2$ <sup>[3]</sup>, а также под влиянием гидростатического давления в кри-

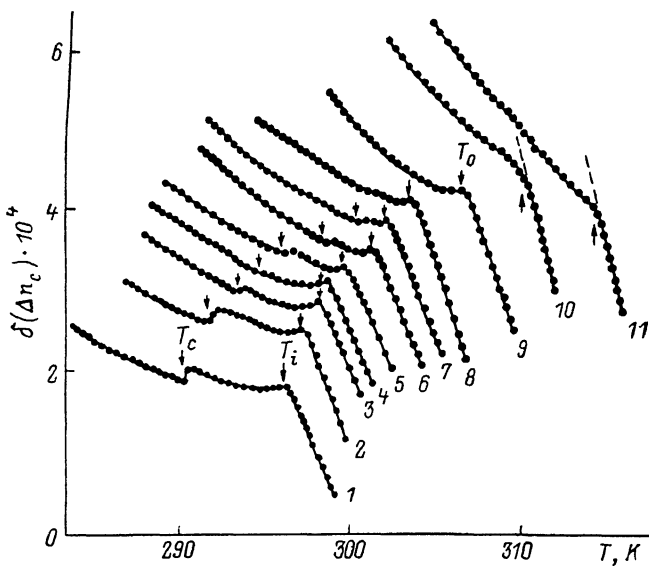


Рис. 1. Изобарические температурные зависимости двупреломления кристаллов ТМАТХ—Cu при различных величинах гидростатического давления.

$P$ , МПа: 1 — 0.1, 2 — 2.5, 3 — 10, 4 — 16, 5 — 22, 6 — 32, 7 — 43, 8 — 55, 9 — 75, 10 — 100, 11 — 125.

сталлах группы  $\{\text{N}(\text{CH}_3)_4\}_2\text{MCl}_4$  ( $\text{M} = \text{Zn}, \text{Co}, \text{Mn}$  и  $\text{Fe}$ )<sup>[4, 5]</sup>. Характерной особенностью проведенных исследований являлось определение критических значений напряженности электрического поля или давления и температуры, выше которых в указанных кристаллах исчезала несоразмерно-модулированная структура.

Цель настоящей работы состояла в изучении фазовой  $P, T$ -диаграммы кристаллов тетраметиламмония—тетрахлорокупрата  $\{\text{N}(\text{CH}_3)_4\}_2\text{CuCl}_4$  (ТМАТХ—Cu) методами оптического двупреломления и наблюдения двойниковой структуры. В условиях атмосферного давления эти кристаллы претерпевают последовательность фазовых переходов из исходной параллэлектрической фазы (ПФ) ( $D_{2h}^{16}$ — $Pmcn$ ) в НФ при  $T_i = 297$  К и далее при  $T_c = 291$  К в моноклинную несобственную сегнетоэластическую соразмерную фазу (СФ) ( $C_{2h}^5$ — $P 12_1/c1$ ) с утроенным параметром элементарной ячейки вдоль  $c$ -оси<sup>[6–8]</sup>. Дальнейшее понижение температуры кристаллов ТМАТХ—Cu сопровождается еще одним фазовым переходом ( $T_L = 263$  К)

в моноклинную собственную сегнетоэластическую фазу (СЭФ) с пространственной группой симметрии  $C_{2h}^5 - P\bar{1}12_1/m$ .

Кристаллы для исследований выращивались из водного раствора соединений  $N(CH_3)_4Cl$  и  $CuCl_2 \times 2H_2O$ , взятых в стехиометрическом соотношении, методом медленного испарения при постоянной температуре. Выращенные кристаллы имели удовлетворительное оптическое качество и развитую кристаллографическую огранку. Их установка в кристаллофизической системе координат производилась по внешней огранке в соответствии с [6], так что  $a=9.039 \text{ \AA}$ ,  $b=15.155 \text{ \AA}$ ,  $c=12.127 \text{ \AA}$ . Температурные зависимости двупреломления изучались методом Сенармона ( $\lambda=6328 \text{ \AA}$ ) с точностью  $10^{-7}$ . Для оптических температурных исследований в условиях высоких гидростатических давлений использовалась специально сконструированная оптическая камера, позволявшая проводить измерения при давлениях 0.1—250 МПа и температурах 220—400 К. Скорость изменения температуры составляла 0.1—0.2 К/мин.

На рис. 1 приведены изобарические температурные зависимости двупреломления для среза кристалла ТМАТХ—Cu при различных величинах гидростатического давления, измеренные в режиме нагревания. Видно, что в условиях атмосферного давления зависимость  $\delta(\Delta n_c)=f(T)$  характеризуется аномальным поведением в окрестности переходов ПФ—НФ—СФ. Причем в области  $T_c$  наблюдается скачкообразное поведение двупреломления, а при  $T_i$  излом зависимости  $\delta(\Delta n_c)=f(T)$ , что указывает на наличие соответственно переходов первого и второго рода. С приложением гидростатического давления наблюдается заметное размытие аномалии двупреломления в окрестности  $T_c$ , а также смещение температур фазовых переходов  $T_c$  и  $T_i$  в высокотемпературную область. Температурный интервал существования НФ уменьшается, и при давлении  $P_k$ , равном примерно 52—55 МПа, она полностью исчезает. Выше  $P_k$  в кристалле ТМАТХ—Cu осуществляется непосредственный переход из СФ в ПФ при  $T=T_0$ . Дальнейшее увеличение давления сопровождается смещением перехода СФ—ПФ в область высоких температур, причем аномалия двупреломления в окрестности  $T_0$  при высоких давлениях приобретает плавный характер. Обращает на себя внимание отсутствие скачка двупреломления при  $T=T_0$ . Вместе с тем из термодинамической теории фазовых переходов второго рода [9, 10] известно, что такие переходы возможны только при выполнении условия Лифшица, а именно отсутствия градиентного инварианта типа  $(\eta d\xi/dx - \xi d\eta/dx)$ , где  $\eta$ ,  $\xi$  — компоненты параметра порядка. В случае кристаллов ТМАТХ—Cu термодинамический потенциал содержит инвариант Лифшица [11]; следовательно, избежать возникновения НФ можно лишь в случае перехода первого рода. Однако, как отмечалось выше, в кристаллах ТМАТХ—Cu под влиянием гидростатического давления происходит существенное уширение областей фазовых переходов в окрестности  $T_c$  и  $T_0$ . В первом случае размытие аномалии двупреломления при фазовом переходе первого рода происходит задолго до исчезновения НФ. Причиной этого, по-видимому, является существенное усиление под влиянием гидростатического давления естественных неоднородных механических напряжений кристалла, образовавшихся в процессе его роста. В связи с этим на основе проведенного эксперимента нельзя сделать определенный вывод о роде перехода СФ—ПФ.

Линии соответствующих фазовых переходов приведены на фазовой  $P$ ,  $T$ -диаграмме (рис. 2). Видно, что ширина НФ, ограниченная фазовыми переходами  $T_i$  и  $T_c$ , с повышением давления линейно уменьшается и при

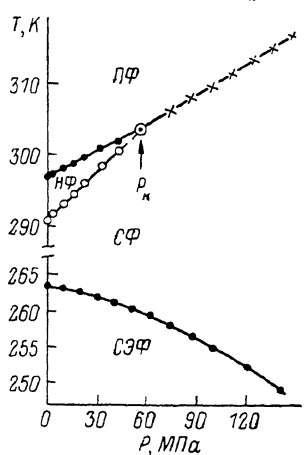


Рис. 2. Фазовая  $P$ ,  $T$ -диаграмма кристаллов ТМАТХ—Cu.

$P=P_k$ ,  $T_k=303$  К наблюдается схождение линий  $T_i(P)$  и  $T_c(P)$  в одну линию фазовых переходов  $T_0(P)$ . Кроме того, на фазовой диаграмме приведена линия фазовых переходов первого рода  $T_L(P)$  из СФ в СЭФ. Исследование этого перехода осуществлялось путем наблюдения за возникновением двойниковой структуры, которая для среза имеет вид узких полос, направленных вдоль  $a$ -оси, и появляется ниже  $T_L$  [6]. Увеличение давления сопровождается понижением температуры перехода  $T_L$ , причем зависимость  $T_L(P)$  имеет нелинейный характер. На основании полученной фазовой  $P$ ,  $T$ -диаграммы определены барические коэффициенты сдвига температур переходов  $dT_i/dP$ ,  $dT_c/dP$ ,  $dT_L/dP$  и  $dT_0/dP$ , которые соответственно равны  $0.13 \pm 0.01$ ,  $0.23 \pm 0.01$ ,  $-0.09 \pm 0.01$  К/МПа (при  $P=60$  МПа) и  $0.15 \pm 0.01$  К/МПа. Величина барических коэффициентов  $dT_i/dP$  и  $dT_c/dP$  в кристаллах ТМАТХ—Си близка к величине соответствующих коэффициентов в изоструктурных кристаллах ТМАТХ—Zn и ТМАТХ—Со [5]. Однако под влиянием давления СФ кристаллов ТМАТХ—Си уширяется, поэтому в целом их фазовая диаграмма существенно отличается от остальных кристаллов этой группы. Положительное значение барических коэффициентов  $dT_i/dP$ ,  $dT_c/dP$  и  $dT_0/dP$  подтверждает вывод работы [12] о том, что фазовые переходы при температурах  $T_i$ ,  $T_c$  и  $T_0$  в кристаллах ТМАТХ—Си относятся к типу порядок—беспорядок и связаны с упорядочением метильных групп. Напротив, отрицательное значение коэффициента  $dT_L/dP$  указывает на определяющую роль механизма смещения в природе этого фазового перехода.

Авторы глубоко признательны И. В. Бережному за помощь в постановке эксперимента, а также А. П. Леванюку за ценные критические замечания к данной работе.

#### Л и т е р а т у р а

- [1] *Jamet J. P. J. Phys. Lett.*, 1981, vol. 42, N 1, p. L123—L125.
- [2] *Qiu S. L., Dutta M., Cummins H. Z. et al. Phys. Rev. B.*, 1986, vol. 34, N 11, p. 7901—7910.
- [3] *Levstic A. C., Filipic C., Prelovsek P. et al. Phys. Rev. Lett.*, 1985, vol. 54, N 14, p. 1567—1569.
- [4] *Axe J. D., Iizumi M., Shirane G. Modern problems in condensed matter sciences. Incommensurate phases in dielectrics, 2. North—Holland P. C.*, 1986, p. 3—47.
- [5] *Shimizu H., Kokubo N., Yasuda N., Fujimoto S. J. Phys. Soc. Jap.*, 1980, vol. 49, N 1, p. 223—229.
- [6] *Sawada A., Sugiyama J., Wada M., Ishibashi Y. J. Phys. Soc. Jap.*, 1980, vol. 48, N 5, p. 1773—1774.
- [7] *Gesi K., Iizumi M. J. Phys. Soc. Jap.*, 1980, vol. 48, N 5, p. 1775—1776.
- [8] *Sawada A., Sugiyama J., Wada M., Ishibashi Y. J. Phys. Soc. Jap.*, 1980, vol. 49, Suppl. B, p. 89—91.
- [9] *Лифшиц Е. М. ЖЭТФ*, 1941, т. 11, № 2—3, с. 255—268.
- [10] *Леванюк А. П., Санников Д. Г. ФТТ*, 1976, т. 18, № 2, с. 423—428.
- [11] *Sugiyama Jun., Wada M., Sawada A., Ishibashi Y. J. Phys. Soc. Jap.*, 1980, vol. 49, N 4, p. 1405—1412.
- [12] *Gomez-Cuevas A., Tello M. J., Fernandez J., Lopez-Echarri A. J. Phys. C: Sol. St. Phys.*, 1983, vol. 16, N 3, p. 473—485.

Львовский государственный  
университет им. И. Франко  
Львов

Поступило в Редакцию  
11 января 1988 г.  
В окончательной редакции  
5 апреля 1988 г.